

M. Taromi*

Young Researchers and Elite Club, South Tehran Branch, Islamic Azad University, Tehran, Iran.

e-mail: majid.taromi@yahoo.com

A. H. Eghbali

Department of Civil Engineering, Islamic Azad University Islamshahr Branch, Tehran, Iran.

e-mail: eghbali@iiau.ac.ir

N. Hadiani

Department of Civil Engineering, Islamic Azad University Islamshahr Branch, Tehran, Iran.

e-mail: na.hadiani@gmail.com

3D Modeling of Stability and Deformation of Reinforced and Unreinforced Face in the Shallow Tunnel

Utilizing of fiberglass nail in the face of tunnel is one of the economical and effective pre-support methods for increasing stability and control of settlement in weak grounds and tunnels with extended level and increase of ground mechanical strength. In this study, by taking advantage of 3D modeling of fiberglass nail which is effective in reduction of deformation, settlement, the direct modeling of nail in the 3D finite element and material with equivalent section. This study has covered effects of nail density, the overburden to depth of tunnel ratio. The method of strength reduction for analyzing the safety factor of tunnel has been considered. The result of 3D numerical analysis with limit equilibrium methods (LEM) for determining safety factor has been compared. The comparison of LEM and finite element method revealed that using of nail fiberglass and increases the range of safety factor between 5% to 75% and 1.25 to 2 in terms of overburden to diameter ratio. This increase of nail is dependent on density and overburden. While, with increase to advance length, the amount of vertical displacement would rise in both method, although these measures have no effects in horizontal displacement. In addition to that, using of nail in the tunnel face has caused the amount of vertical displacement between 20 to 35 percent and in the horizontal displacement between 50 to 60 percent of decrease has happened.

Keywords: Safety factor, Deformation, LEM, Fiberglass nail, 3D modeling.

* Corresponding author

Received 05 November 2019, Revised 04 February 2020, Accepted 08 February 2020.
DOI: 10.22091/cer.2020.4950.1182

مدل‌سازی سه‌بعدی پایداری و تغییر‌شکل جبهه‌کار تسلیح‌شده و تسلیح‌نشده در تونل‌های کم‌عمق

اقدامات پیش‌تحکیمی در تونل‌زنی در شرایط کم‌عمق و مشکل‌دار یکی از راهکارهای موفق در عملیات حفاری و تحکیم تونل‌هاست. استفاده از نیل فایبر‌گلاس در جبهه کار تونل به عنوان یکی از روش‌های مؤثر و اقتصادی پیش‌تحکیمی برای افزایش پایداری و کنترل نشست در زمین‌های نرم است. در این مطالعه، مدل‌سازی سه‌بعدی اثرات نیل فایبر‌گلاس در جبهه کار در کاهش پدیده شکم‌دادگی، نشست قائم و ضربیت ایمنی با دو روش مدل‌سازی مستقیم نیل در مدل سه‌بعدی اجزای محدود و مصالح با مقطع معادل، بررسی شده است. مطالعه حاضر، اثرات دانسیته نیل، نسبت عمق به قطر تونل (C/D) و گام پیشروی را بررسی می‌کند. از روش کاهش مقاومت برای محاسبه ضربیت ایمنی تونل استفاده شده است. نتایج تحلیل عددی با روش‌های تعادل حدی برای تعیین ضربیت ایمنی مقایسه گردیده است. مقایسه روش تعادل حدی با روش اجزای محدود نشان می‌دهد که استفاده از نیل فایبر‌گلاس، ضربیت ایمنی تونل را بین ۵۰ تا ۷۵ درصد (به ازای ۲۰ نیل فایبر‌گلاس) و ۱۲۵ تا ۲۰۰ درصد (به ازای ۵۰ نیل فایبر‌گلاس) با توجه به نسبت عمق به قطرهای مختلف افزایش می‌دهد. این در حالی است که با افزایش گام پیشروی، مقدار جابه‌جایی قائم در هر دو روش، افزایش می‌یابد ولی تأثیری در مقدار جابه‌جایی افقی تونل در هر دو روش ندارد. همچنین استفاده از نیل در جبهه کار تونل، مقدار جابه‌جایی قائم را بین ۲۰ تا ۳۵ درصد و جابه‌جایی افقی را بین ۵۰ تا ۶۰ درصد کاهش می‌دهد.

واژگان کلیدی: ضربیت ایمنی، تغییر‌شکل، روش تعادل حدی، نیل فایبر‌گلاس، مدل‌سازی سه‌بعدی.

مجید طارمی*

باشگاه پژوهشگران جوان و
نخبگان، دانشگاه آزاد اسلامی-

واحد تهران جنوب، تهران.

پست الکترونیک:

majid.taromi@yahoo.com

امیرحسین اقبالی

گروه مهندسی ژئوتکنیک،
دانشکده فنی و مهندسی،
دانشگاه آزاد اسلامی- واحد
اسلامشهر، اسلامشهر.

پست الکترونیک:

eghbali@iiau.ac.ir

نوید هادیانی

گروه مهندسی ژئوتکنیک،
دانشکده فنی و مهندسی،
دانشگاه آزاد اسلامی- واحد
اسلامشهر، اسلامشهر.

پست الکترونیک:

Na.hadiani@gmail.com

۱- مقدمه

کم‌عمق، این اثر می‌تواند به سرعت پیشرفت کرده و منجر به نشست زمین یا حتی ریزش شود [۴-۱].

تحلیل پایداری تونل‌ها به‌منظور کنترل نشست سطحی یا اطمینان از ایمنی در مقابل ریزش در جبهه کار تونل‌هاست [۵]. پایدارسازی را می‌توان براساس دو اصل به‌دست آورد:

(الف) توسط متعادل کردن فشار توده زمین که گسیختگی با آزادسازی نشش همراه است [۶].

(ب) بهبود شرایط زمین در تونل، با افزایش مقاومت مکانیکی توده زمین [۷].

زمین نرم به‌علت خواص مکانیکی ضعیف و نگهداری زیاد آب، اغلب به شرایط دشوار در تونل‌زنی منجر می‌شود. آزادی تنش ناشی از حفاری، موجب ضعف و گسیختگی موضعی در تاج و جبهه‌کار حفاری می‌شود. در تونل‌های

* نویسنده مسئول

تاریخ: دریافت ۱۴۰۸/۰۸/۱۴، بازنگری ۱۳۹۸/۱۱/۱۵، پذیرش ۱۳۹۸/۱۱/۱۹.

DOI: 10.22091/cer.2020.4950.1182 شناسه دیجیتال

کارایی و اینمنی بیشتر استفاده از نیل های فایبر گلاس در پایدارسازی جبهه کار در حفاری تمام مقطع در زمین های نرم، باعث لزوم توسعه استفاده از این فناوری در پروژه های تونل زنی شهری شده است [۱۳ و ۱۵].

طراحی سیستم تسلیح جبهه کار با نیل های فایبر گلاس با در نظر گرفتن تعداد، طول، آرایش، مشخصات نیل و روش اجراست. از اینرو، ارزیابی رفتار تغییر شکل تونل تقویت شده، یک تحلیل سه بعدی به منظور مدل سازی مستقیم عناصر تقویت کننده و روش حفاری است [۱۶ و ۱۷]. این در حالی است که روش های جایگزین نیز برای بررسی اثرات مسلح کننده ها در یک مدل سه بعدی را می توان با اعمال فشار سینه کار [۱۸] یا مصالح با مقطع معادل [۱۹] برای هسته - جبهه کار، مدل سازی کرد.

در این مطالعه، مدل سازی سه بعدی اثرات نیل فایبر گلاس در سینه کار با

(۱) مدل سازی مستقیم نیل در مدل سه بعدی اجزای محدود و

(۲) مصالح با مقطع معادل بررسی شده است. مطالعه حاضر، اثرات نسبت عمق به قطر تونل و گام پیشروی را پوشش می دهد. ضریب اینمنی برای هر دو حالت تقویت شده و بدون تقویت بررسی گردیده است. روش کاهش مقاومت برای محاسبه ضریب اینمنی سینه کار مورد پذیرش قرار گرفته شده است. سپس نتایج تحلیل عددی سه بعدی با روش های تعادل حدی روز ^۲ (۲۰۰۴)، پن و دیاس ^۳ (۲۰۱۷) و پترنسی ^۴ و همکاران (۲۰۱۷) مقایسه شده است [۱۷، ۲۰ و ۲۱].

۲- روش تحلیل

حالت اول مشابه روش تونل زنی سپری مکانیزه است که در آن عملیات متعادل کردن به وسیله یک سیال تحت فشار در مقابل جبهه کار تونل اعمال می شود تا فشار زمین و فشار آب حفره ای در صورت وجود، به تعادل برسد [۸ و ۹]. حالت دوم، تمام روش های تسلیح و تزریق و به طور کلی، علاج بخشی خاک (قوس چتری (UAM)، ستون تزریق پرفشار، نیلینگ، انجماد خاک، و غیره) را شامل می شود [۱۰-۱۲].

تونل زنی تمام مقطع برای اولین بار ۳۰ سال قبل در ایتالیا و در تونل های با سطح مقطع ۱۲۰ تا ۲۲۰ متر مربع و در زمین های با شرایط ژئوتکنیکی مختلف و تونل های کم عمق و عمیق مورد استفاده قرار گرفت. در شرایط حفاری تمام مقطع، تنش ها و کرنش های توسعه یافته در محیط پیرامونی تونل (خاک یا سنگ) در هسته پیشروی تونل مرکز می شوند. بنابراین مسئله پایداری سینه کار حفاری، اساسی ترین مشکل در حفاری تمام مقطع تونل است [۱۳ و ۱۴].

تحقیقات آزمایشگاهی، عددی و مشاهدات تجربی انجام شده روی وقوع نشست و جابه جایی های زمین در حین حفاری تونل نشان می دهد که علت اصلی فرآیند تنش - کرنش شامل شکم دادگی، پیش همگرایی و همگرایی محیط حفاری ناشی از تغییر شکل پذیری هسته پیشروی است. بنابراین صلبیت هسته نقش تعیین کننده ای در پایداری تونل در کوتاه مدت، طولانی مدت و کنترل نشست تونل ایفا می کند. با انجام فعالیت های پایدارسازی و تسلیح این ناحیه، حفاری را می توان با حداقل مخاطرات و بالاترین سرعت و اینمنی انجام داد [۱۰].

یکی از روش هایی که مستقیماً روی پایداری هسته پیشروی جهت بهبود خواص مقاومتی، کنترل تغییر شکل پذیری و نشست زمین نقش اساسی دارد، استفاده از المان های فایبر گلاس است. مزایای اقتصادی،

²- Ruse
³- Pan and Dias
⁴- Paternesi

^۱- Umbrella Arch Method

استفاده در مدل سازی عددی در جدول ۱ نشان داده شده است.

نتایج تحلیل عددی سه بعدی انجام شده با اطلاعات به دست آمده از ابزار دقیق و مطالعات قبلی مقایسه شد. مقادیر بیشینه نشست در مدل سازی عددی، همخوانی نسبتاً قابل قبولی با این مطالعات داشت (شکل ۱). بنابراین از نحوه مدل سازی، می توان در این تحقیق استفاده کرد.

۲-۲- مدل رفتاری خاک

استفاده از تحلیل اجزای محدود در پروژه های ژئوتکنیک، به عنوان ابزاری برای کنترل و بهینه سازی فعالیت های مهندسی، از محبوبیت و گسترش زیادی برخوردار است. با این حال، کیفیت هر پیش بینی نتش- کرنش در این نوع تحلیل، وابسته به مدل رفتاری است. یکی از مسائل اصلی در مهندسی سازه های ژئوتکنیکی در دهه ۱۹۷۰ میلادی و پیش از آن، تفاوت آشکار بین سختی خاک اندازه گیری شده از آزمون های آزمایشگاهی و تحلیل های برگشتی انجام شده از مشاهدات جابه جایی های زمین بود. این تفاوت ها در حال حاضر، به طور کامل به واسطه درک مشخصه های اصلی تغییر شکل خاک به ویژه تأثیر قابل توجه غیر خطی بودن، متوجه شده است. این رویکرد، یکی از مهم ترین دستاوردهای تحقیقات مهندسی ژئوتکنیک در ۳۰ سال گذشته بوده است. از اینرو، یک پیش بینی واقع بینانه تر از جابه جایی زمین، نیاز به استفاده از مدل های رفتاری برای محاسبه رفتار پیش از گسیختگی خاک همانند رابطه نتش- کرنش غیر خطی پیش از رسیدن به حالت نهایی را دارد.

مدل رفتاری خاک سخت شونده^۹ (HS) در چارچوب تئوری خمیری در سال ۱۹۹۹ توسط شنز^{۱۰} و همکاران پایه گذاری شد [۲۵]. در این مدل، کل کرنش ها (ارتجاعی و خمیری) بر اساس سختی تابع سطح نتش

^۹- Hardening soil
^{۱۰}- Schanz

در سال های اخیر روش های عددی در تحلیل مسائل ژئوتکنیک به سرعت در حال توسعه است. سمپریچ^۵ (۱۹۸۰) اولین بار تحلیل اجزای محدود سه بعدی را برای محاسبه تغییر شکل نزدیک به جبهه کار حفاری تونل انجام داد [۲۲]. پس از آن باومن^۶ و همکاران (۱۹۷۷) پایداری سینه کار تونل را در خاک و سنگ های نرم با استفاده از روش اجزای محدود با در نظر گرفتن مدل رفتاری الاستو- پلاستیک مور- کولمب انجام داد [۲۳]. در ادامه، محققان در سال ۲۰۰۴، مطالعات عددی گسترده ای را روی حفاری سینه کار تونل بدون تسليح انجام دادند [۲۰]. مدل سازی اثرات نیل فایبر گلاس با روش های عددی توسط محققین مختلف بررسی شده است. اغلب این مطالعات روی تعیین ضربی ایمنی، تحلیل شکم دادگی سینه کار و کاهش نشست سطحی متمرکز بوده است [۱۱، ۱۶، ۱۷ و ۲۱].

۱-۲- صحت سنجی مدل

به منظور صحت سنجی مدل اجزای محدود، دو روش

- (۱) قوس چتری (UAM) در ترکیب با نیل سینه کار (FFB)^۷ و
- (۲) روش تونل زنی جدید اتریشی (NATM)^۸ که در ساخت متروی استانبول مورد استفاده قرار گرفته، استفاده شده است [۲۴].

نتایج تحلیل، عملکرد مناسب روش ترکیبی UAM و FFB را در مقایسه با NATM در کنترل نشست سازه های سطحی به دلیل اثر قوس زدگی ناشی از به سازی محیط تونل و کاهش جابه جایی افقی در جبهه کار حفاری به علت اثرات نیل، نشان داد. مشخصات مصالح مورد

^۵- Semprich

^۶- Umbrella Arch Method

^۷- Fiberglass Face Bolt

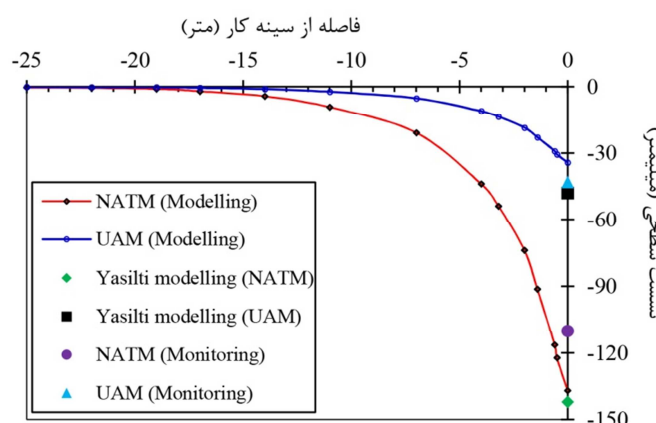
^۸- New Austrian Tunneling Method

از شکست براساس پارامترهای مقاومتی مدل مور- کولمب (چسبندگی و زاویه اصطکاک داخلی) تعیین می شود.

محاسبه می شود که این سختی برای حالت بارگذاری اولیه و باربرداری/بارگذاری متفاوت است. در این مدل، رفتار تا قبل از نقطه شکست، غیر خطی است و همچنین رفتار بعد

جدول ۱- مشخصات مصالح مورد استفاده در مدل

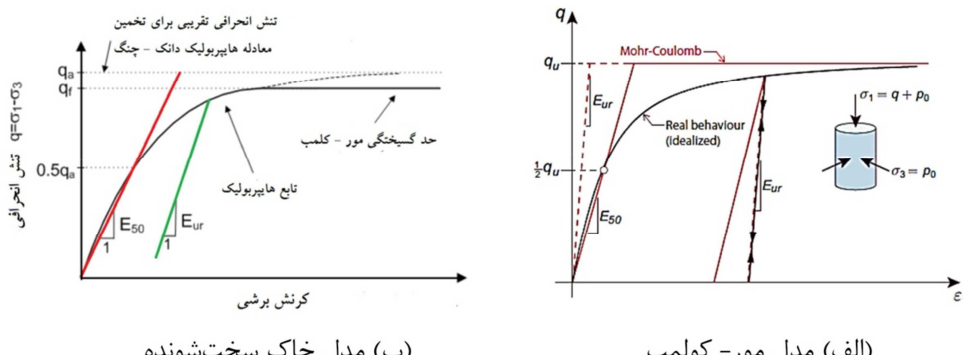
سختی خمی (EI) (kNm ² /m)	سختی محوری (EA) (kN/m)	نسبت پواسون	مدول ارتعاشی (kPa)	نوع مصالح
$2/806 \times 10^4$	$2/678 \times 10^6$	۰/۲	$1/0 \times 10^7$	شاتکریت یک روزه
$9/352 \times 10^4$	$8/925 \times 10^6$	۰/۲	$2/85 \times 10^7$	شاتکریت ۲۸ روزه
-	-	۰/۲۵	$1/473 \times 10^6$	فورپلینگ (Soilcrete)
-	$3/600 \times 10^4$	-	-	فیوگرید (Face bolt)
۱۴۸	$2/367 \times 10^5$	-	-	نیل خود حفار



شکل ۱- مقایسه پروفیل نشست سطحی صحت سنجی مدل با نتایج رفتارنگاری و مطالعات قیلی

مسائل مربوط به «خاکبرداری» و «تونل سازی» استفاده از مدل HS نتایجی نزدیکتر به واقعیت و در نتیجه مطلوبتری را در بر خواهد داشت. از اینرو، در این تحلیل از مدل رفتاری HS استفاده شد.

در مدل رفتاری HS، سختی خاک بسیار دقیق‌تر از مدل رفتاری مور- کولمب در نظر گرفته می‌شود. این در حالی است که مدل مور- کولمب توانایی در نظر گرفتن تفاوت رفتار در بارگذاری و باربرداری را ندارد و در واقع تاریخچه تنش را در نظر نمی‌گیرد (شکل ۲)، بنابراین در



شکل ۲- توصیف مدل های شکل پذیری مختلف خاک در آزمون های سه محوری [۲۷]

نشان داده شده است.)

پارامترهای مورد استفاده در تحلیل اجزای محدود

براساس مدل رفتاری خاک سخت‌شونده در جدول ۲

جدول ۲- مشخصات فیزیکی و مکانیکی مدل رفتاری خاک سخت‌شونده در تحلیل اجزای محدود [۲۶]

γ (kN/m ³)	E_{50} (MPa)	E_{oed} (MPa)	E_{ur} (MPa)	c (kPa)	φ (Deg)	ψ (Deg)	v_{ur}	P_{ref} (kPa)	K_0	Power	R_f
۲۰	۱۰۰	۱۰۰	۲۵۰	۴۰ و ۲۰، ۱۰	۳۰	۵	۰/۲	۱۰۰	۰/۵	۰/۲۵	۰/۹
تش مرجع برای سختی‌ها									P_{ref}	چسبندگی موثر	c
زاویه اتساع									Ψ	زاویه اصطکاک داخلی موثر	φ
توان نشان دهنده وابستگی سختی به سطح تش									$m=1$	مدول بارگذاری ادئومتری	E_{oed}
ضریب پواسون برای حالت باربرداری-بارگذاری مجدد برای خاک‌های عادی تحکیم‌یافته ($1 - \sin\varphi$)									v_{ur}	مدول باربرداری/بارگذاری مجدد	E_{ur}
وزن مخصوص خاک									K_0	بارگذاری-باربرداری سه‌محوری	E_{50}
									γ	نسبت گسیختگی است که این مقدار به طور پیش‌فرض در Plaxis $0/9$ در نظر گرفته می‌شود.	R_f

حفاری تونل مناسب است؛ یعنی آهنگ تغییرشکل‌های حاصل از حفاری در مصالح دانه‌ای و مصالح چسبنده متفاوت است. به طور کلی، نشت در خاک‌های چسبنده به دلیل قوی‌تر بودن خاصیت شکل‌گیری گنبد فشار نسبت به خاک‌های دانه‌ای، کمتر است. همچنین اگر دهانه حفاری شامل چند لایه خاک باشد، توجه به این نکته که بخش عمده دهانه، دانه‌ای است یا چسبنده، در تغییرمکان‌های نقاط اطراف دهانه حفاری تأثیرگذار است. بنابراین بهمنظور اجتناب از هرگونه سازوکار ممکن در خاک و همچنین اثرات مرز خارجی، بایستی مرزهای مدل در اطراف آن گسترش یابند.

در این مطالعه، شرایط مرزی مدل به صورت شکل ۳ در نظر گرفته شده است. با توجه به تقارن مدل، در مدل‌سازی دو و سه‌بعدی، از تقارن محوری استفاده شده و تونل به صورت نیم‌قطع مدل شده است. برای افزایش دقیق نتایج از مشبندی غیریکنواخت استفاده شده و اندازه مش در اطراف ناحیه حفاری تونل، ریزتر گردیده است. این مدل شامل ۴۳۴۷ المان ۱۵ گره‌ای و ۱۳۷۴۸ گره است. تمامی حرکات در پایین مدل، ثابت شده و هرگونه

۳-۲- ابعاد و حوزه مسئله

روش‌های عددی نظری روش اجزای محدود (FEM)، حل‌هایی تقریبی از مسئله‌های مقدار مرزی مکانیک محیط‌های پیوسته ارائه می‌دهند. در این رویکرد، حوزه و محدوده مسئله که بخشی از محیط پیوسته است، به اجزای مجزا تقسیم می‌شوند. اندازه حوزه و محدوده مسئله باید به گونه‌ای انتخاب شود که اثر بخش‌های حذف شده محیط پیوسته بر نتایج حل عددی ناچیز باشد. ابعاد حوزه مسئله از بزرگی و جهت‌گیری تنش‌های اصلی متناظر با حالت تنش‌های بر جا نیز تأثیر می‌پذیرد. برای حالت متدالوی یک تونل سطحی در یک حوزه مستطیلی که تنش‌های بر جا به موازات کناره‌های حوزه مسئله‌اند، بسته به عواملی که در بالا اشاره شد، تغییرمکان افقی برای با صفر (ناچیز) در فاصله 3D تا 13D در طول کناره‌های حوزه مسئله رخ می‌دهد (D برابر عمق تونل یا ارتفاع روباره تونل است) [۸ و ۹]. همچنین بهمنظور اجتناب از تخمین کمتر تغییرمکان‌ها، برای فضاهای زیرزمینی در اعماق بیشتر، محدوده و حوزه مسئله باید به مراتب بزرگ‌تر باشد. تغییرمکان‌های نقاط درونی زمین با محیط

باریک^{۱۱} با صلبیت خمشی مشخص و یک سختی نرمال استفاده می شود. در هندسه مدل به طور پیش فرض این المان با خطوط رنگ آبی نمایش داده می شود. مشخصات مربوط به جنس المان Plate در مدل اجزای محدود با سختی خمشی (EI) و سختی نرمال (EA) معرفی شده اند (جدول ۳).

۵-۵- مدل سازی تسليح سینه کار با نیل فایبر گلاس

در این مطالعه، مدل سازی نیل های فایبر گلاس با استفاده از المان ژئوگرید انجام شده است (جدول ۴). ژئوگریدها سازه های باریکی هستند که دارای سختی نرمال می باشند، ولی هیچ سختی خمشی ندارند. ژئوگریدها تنها قادرند نیروهای کششی را تحمل کنند [۱۶].

تأثیر نیل در سینه کار حفاری با مدل سازی خصوصیات معادل مصالح بدون مدل سازی سازه های المان های تسليح نیز بررسی شد. در این رویکرد اثرات نیل در سینه کار با چسبندگی معادل مدل سازی گردید. مطابق با این رویکرد در می بایم که چسبندگی ۱۰ کیلوپاسکال با تعداد ۲۰ و ۵۰ نیل در سینه کار به ترتیب برابر با سینه کار بدون تسليح با چسبندگی ۲۰ و ۴۰ کیلوپاسکال است. نتایج هر دو روش با رویکرد تحلیلی نعمتی حیاتی و همکاران (۲۰۱۲) مقایسه شد [۲۶]

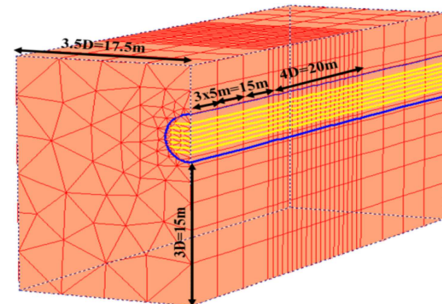
برای مدل سازی اثرات نیل فایبر گلاس به صورت چسبندگی معادل، اثرات به سازی خاک تنها به شکل چسبندگی و هیچ گونه تغییر در زاویه اصطکاک داخلی خاک به جبهه کار تونل اعمال می شود. در ناحیه تسليح شده تونل، چسبندگی افزایش یافته، براساس رابطه (۱) محاسبه می شود:

$$c^* = c + \frac{\Delta \sigma_3}{2} \tan\left(45 + \frac{\varphi}{2}\right) \quad (1)$$

که در آن c و φ به ترتیب چسبندگی و زاویه اصطکاک

تغییر مکان های افقی در سطوح جانبی مدل، بلوکه شده است.

قطر تونل، ثابت ($D=5m$)، روباره تونل متغیر از ۵ (برابر با قطر تونل، D) تا ۱۵ متر (سه برابر قطر تونل) و حفاری به صورت تمام مقطع با گام های پیشروی ۱ تا ۴ متر در نظر گرفته شده است. مرزهای جانبی مدل به اندازه سه و نیم برابر قطر تونل و مرز پایینی به اندازه سه برابر قطر تونل امتداد پیدا کرده است.



شکل ۳- مدل سه بعدی اجزای محدود در نرم افزار Plaxis3DTunnel

همانطور که در شکل ۳ نشان داده شده است، ۱۵ متر ابتدایی مدل به منظور از بین بردن اثرات پرتال با مش درشت و در سه گام ۵ متری حفاری شده است. پس از حفاری این بخش، کلیه جایه جایی ها صفر شده است. سپس به اندازه ۲۰ متر (چهار برابر قطر تونل) از تونل با المان های به فاصله یک متر بلوک بندی گردیده است. از المان های ۱۵ گره ای مثلثی شکل برای شبیه سازی رفتار خاک استفاده شد.

۴-۲- مدل سازی پوشش موقت

بسیاری از مسئله های مهندسی ژئوتکنیک در گیر اندر کنش خاک- سازه اند. بنابراین مدل سازی مناسب المان های سازه ای در تحلیل اجزای محدود تأثیر بسزایی در صحت نتایج دارد.

به منظور مدل کردن پوشش موقت تونل (شاتکریت) از المان Plate استفاده شده است. این المان یک عنصر سازه ای است که برای مدل کردن سازه های

^{۱۱}- Selender

تسليح‌کننده در سينه‌كار حفاری است.

داخلی خاک تسليح‌شده و $\Delta\sigma_3$ افزایش در فشار محصور‌کنندگی تأمین شده به واسطه المان‌های

جدول ۳- مشخصات پوشش بتني تونل در تحليل اجزاي محدود

ضخامت (mm)	سختی محوری (kN/m)	صلبیت خمشی (kN/m)	ضریب پواسون	مدل مصالح
۳۵۵	$8/۹۲۵ \times 10^6$	$9/۳۵۲ \times 10^4$	۰/۲	ارتجاعی

جدول ۴- مشخصات نیل فایبر‌گلاس در تحليل اجزاي محدود

E_n (Mpa)	E_g (Mpa)	E_{eq} (kPa)	EA (kN/m)	EI (kNm ² /m)	A_n (mm ²)	A_g (mm ²)	D_{DH} (mm)	D_{bar} (mm)	S_h (m)
۵۰۰۰۰	۲۰	۲۴۵۷۰۴۴	۸۶۷۹۵	۱۲۲	۸۳۶	۱۴۸۳۶	۱۵۰	۶۰	۰/۵
مدول ارجاعی مقطع معادل	E_{eq}	سطح مقطع نیل	A_n	قطر نیل	D_{bar}	فاصله افقی نیل‌ها			S_h
مدول ارجاعی گروت	E_g	مدول ارجاعی نیل	E_n	قطر گمانه	D_{DH}	سطح مقطع گروت			A_g

ناشی از تسليم‌شدگی نیل، است. برای هر نیل با سطح مقطع A مقاومت تسليم f_{y_k} ، کمینه اصطکاک جداره نیل a ، کمینه طول تزریق شده نیل L ، قطر گمانه D نیروی F_{VTR} برابر است با:

$$F_{VTR} = \min \left[F_1 = \frac{\tau_a \pi D k L}{FS_1}; \quad F_2 = \frac{A f_{y_k}}{FS_2} \right] \quad (3)$$

در جدول ۵ محاسبه چسبندگی معادل به ازای تعداد نیل‌های مختلف مورد استفاده در مدل اجزای محدود و تعادل حدی برای محاسبه ضریب اینمی ارائه شده است.

فشار محصور‌کننده از نیروی محصور‌کننده F_{VTR} توسط نیل‌های فایبر‌گلاس محاسبه می‌شود، با فرض اینکه همه نیل، نیروهای برابری را تأمین می‌کنند. فشار محصور‌کننده به صورت رابطه (۲) محاسبه می‌شود:

$$\Delta\sigma_3 = \frac{F_{VTR}}{A_s} \sum_{k=1}^f (n_k \cos i_k) \quad (2)$$

که در آن A_s سطح مقطع تونل، f تعداد خطوط نیل‌های تزریق شده، n_k و i_k به ترتیب تعداد نیل‌ها در k امین خط و زاویه نظری آن است.

نیروی F_{VTR} برابر با کمترین مقدار بین نیروی F_1 ، نیروی حاصل از بیرون‌کشیدگی نیل، و F_2 ، نیروی

جدول ۵- محاسبه چسبندگی معادل به ازای تعداد نیل‌های مختلف

N	f_{y_k} (Mpa)	S (m ²)	T_a (Mpa)	k	L (m)	FS	c (kPa)	c^*
۲۰	۳۰۰	۱۹/۶۲۵	۵۰	۱	۱۲	۲	۱۰	۲۰
۵۰								۴۰

فایبر‌گلاس، مدل‌سازی سه‌بعدی روش اجرا و حفاری تونل در نرم‌افزار Plaxis3DTunnel انجام شد [۲۷]. نتایج این تحلیل‌ها به شرح زیر است.

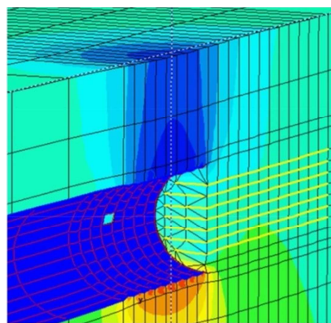
۳- مطالعه پارامتریک

به منظور بررسی پارامترهای مختلف تأثیرگذار شامل روابه، گام پیش روی، چسبندگی خاک و تعداد نیل

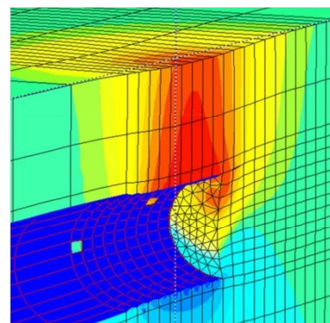
در شرایط تسلیح جبهه کار، جابه‌جایی در داخل جبهه کار ادامه ندارد. همچنین در حالت استفاده از المان‌های سازه‌ای فایبر‌گلاس، جابه‌جایی‌های افقی هسته- جبهه کار ناچیز است، ولی در حالت دوم، جابه‌جایی‌های افقی در هسته- جبهه کار متتمرکز است.

۱-۳- سازوکار گسیختگی

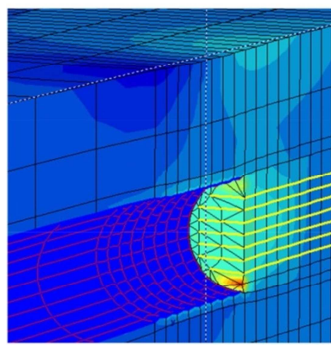
با توجه به مشخصات ژئوتکنیکی خاک و المان‌های فایبر‌گلاس می‌توان دریافت که استفاده از المان‌های سازه‌ای فایبر‌گلاس، سازوکار گسیختگی را تغییر می‌دهند (شکل ۴). در حالت عدم استفاده از نیل، سازوکار گسیختگی در جابه‌جایی‌های قائم، حالت دودکش‌مانند است و در جبهه کار نیز ادامه دارد. این در حالی است که



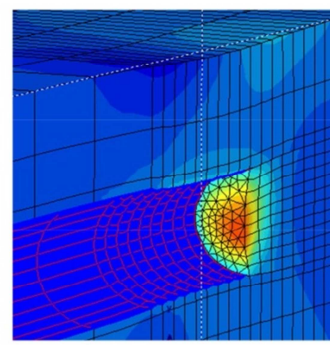
ب) جابه‌جایی قائم در شرایط تسلیح



الف) جابه‌جایی قائم در شرایط بدون تسلیح



د) جابه‌جایی افقی در شرایط تسلیح



ج) جابه‌جایی افقی در شرایط بدون تسلیح

شکل ۴- الگوی جابه‌جایی ناشی از حفر تونل در شرایط تسلیح شده و تسلیح نشده

2: مدل‌سازی دو بعدی جبهه‌کار حفاری تونل در حالت بدون تسلیح و

C/D: نسبت عمق (روباره) به قطر تونل.

این در حالی است که گام پیشروی تأثیری در مقدار جابه‌جایی افقی تونل در هر دو روش ندارد (شکل ۶). همچنین با استفاده از نیل در جبهه کار تونل، مقدار جابه‌جایی قائم بین ۲۰ تا ۳۵ درصد و جابه‌جایی افقی بین ۵۰ تا ۶۰ درصد کاهش می‌یابد (شکل ۷). بنابراین می‌توان دریافت که استفاده از نیل در جبهه کار در کاهش جابه‌جایی افقی تونل تأثیر بیشتری دارد. همچنین با

۲-۳- اثرات گام پیشروی و روباره

به طور کلی، با افزایش گام پیشروی و روباره مقدار جابه‌جایی قائم و افقی در هر دو روش، افزایش می‌یابد (شکل ۵). در شکل ۵، پارامترها به صورت زیر می‌باشند:

FGN: مدل‌سازی سه‌بعدی نیل فایبر‌گلاس در

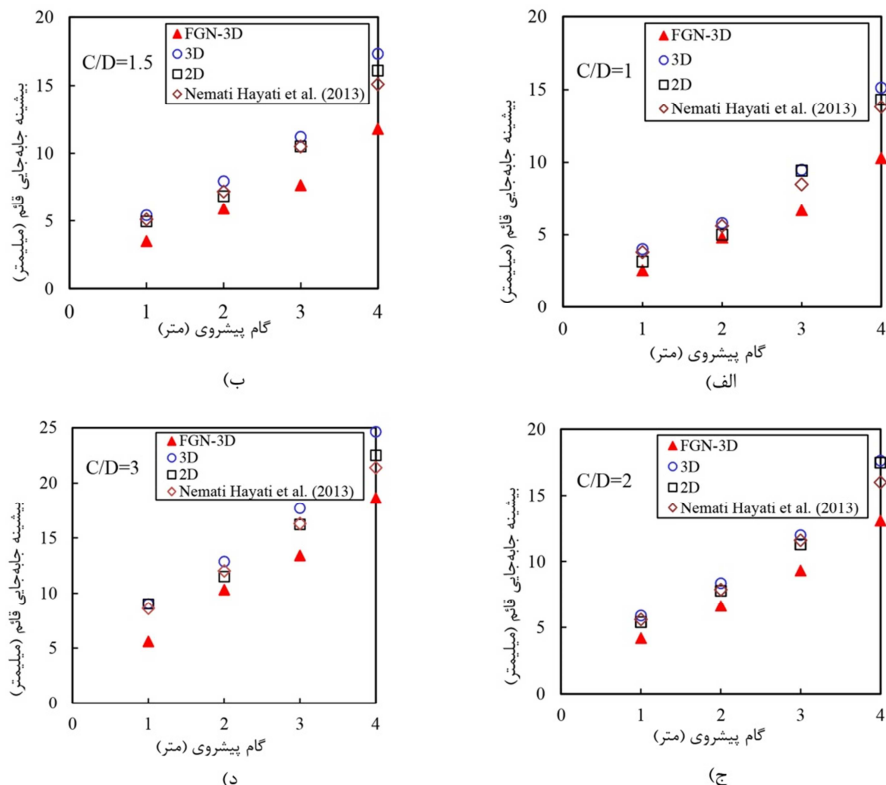
جبهه‌کار حفاری،

3D: مدل‌سازی سه‌بعدی جبهه‌کار حفاری در حالت بدون تسلیح،

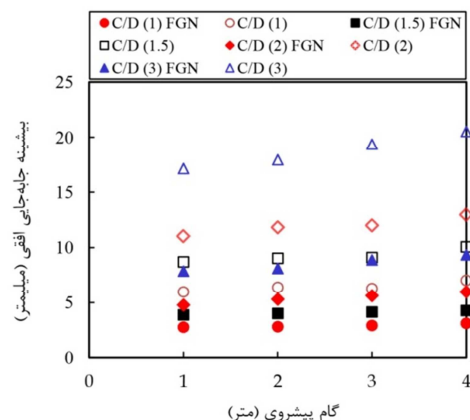
فرآیند حفاری، تحکیم و بررسی تغییرشکل تونل‌ها یک پدیده پیچیده سه‌بعدی است. با این حال، استفاده از تحلیل دوبعده هنوز در بسیاری از مسائل اجرایی متداول است.

استفاده از روش تحلیلی نعمتی حیاتی و همکاران (۲۰۱۲) که اثرات گام حفاری و روباره را بهطور مناسب در محاسبات لحظه‌می‌کند، مشخص شد که نتایج تحلیل عددی تطابق خوبی با روش مذکور دارد [۲۶].

۳-۳-۳- اثرات گام پیشروی و روباره

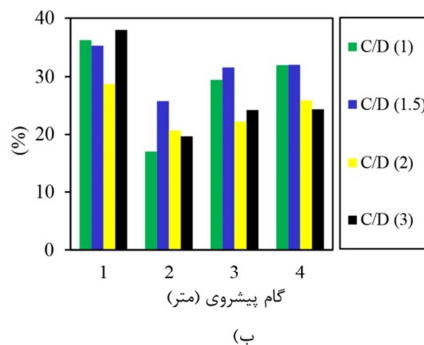


شکل ۵- بیشینه جابه‌جایی قائم تونل با نسبت‌های مختلف عمق به قطر، (الف)، (ب)، (ج)، (د)؛ $C/D = 3$ ، $C/D = 2$ ، $C/D = 1.5$ ، $C/D = 1$



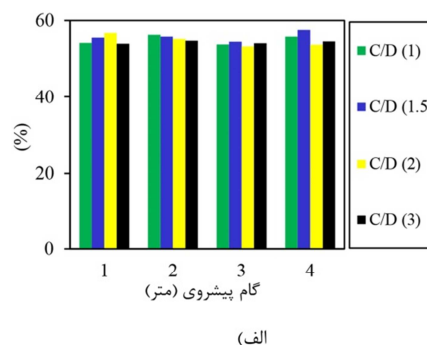
شکل ۶- بیشینه جابه‌جایی افقی جبهه کار تونل

اجرای پوشش موقت با استفاده از اثر قوس‌زدگی طولی از همگرایی بیش از حد مرز حفاری ممانعت می‌کند. قابل ذکر است که بعد از اجرای پوشش موقت در طول زیاد تونل، شرایط کرنش صفحه‌ای برقرار شده و مدل دوبعدی با شرایط واقعی انطباق دارد.



(ب)

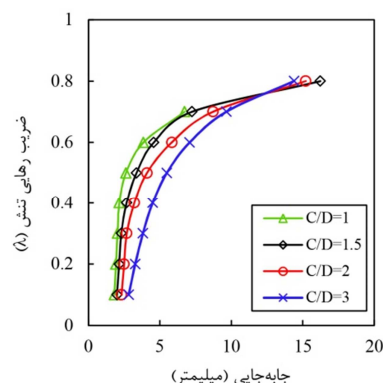
حذف المان‌های خاک در تحلیل دوبعدی، معادل خاکبرداری به طول نامحدود در طول مسیر تونل می‌شود. این امر، منجر به همگرایی المان‌های مرز حفاری بیش از مقدار واقعی و حتی گسیختگی در مدل عددی می‌گردد. در عمل، خاک پیش رو در هر گام حفاری قبل از



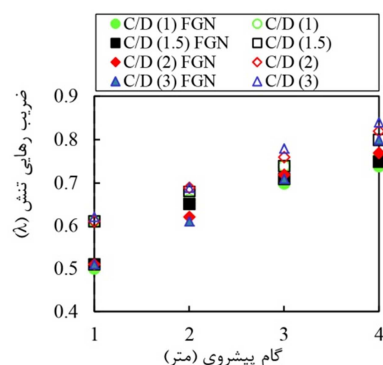
(الف)

شکل ۷- درصد کاهش جابه‌جایی (الف) افقی و (ب) قائم در شرایط تسليح جبهه کار به‌ازای C/D و گام‌های پیشروی مختلف

مختلف در گام‌های حفاری ۱ تا ۴ متر نشان داده شده است. مطابق با این شکل با افزایش روباره و گام حفاری، مقدار ضریب رهایی تنش افزایش می‌یابد.



شکل ۸- منحنی همگرایی تونل بدون نگهداری



شکل ۹- تغییرات ضریب رهایی تنش در برابر گام حفاری در نسبت‌های مختلف عمق به قطر

برای استفاده از مدل دوبعدی در هنگام خاکبرداری، بخشی از نیروهای نامتعادل کننده ناشی از حفاری به مدل عددی کرنش صفحه‌ای اعمال می‌شود تا اثر گام حفاری در کاهش تغییرشکل‌ها و همگرایی مرز حفاری منظور شود. میزان نیروهای نامتعادل کننده‌ای که در مرحله حفاری آزاد می‌شود، به صورت ضریب رهایی در تنש بیان می‌گردد. برای تخمین میزان این مقادیر در مراحل مختلف حفاری از مقایسه نتایج تحلیل‌های سه‌بعدی با دوبعدی استفاده می‌شود. معیار معادل‌سازی تحلیل‌های دوبعدی و سه‌بعدی، همگرایی مرز حفاری است.

به منظور لحاظ کردن اثرات مدل‌سازی سه‌بعدی در مدل دوبعدی در نرم‌افزار Plaxis2D از ضریب رهایی تنش (λ) استفاده شد [۲۸]. ضریب رهایی تنش برای روبارهای مختلف در مدل‌سازی دوبعدی در شکل ۸ نشان داده شده است. مطابق شکل ۸، می‌توان دریافت که رفتار زمین تا $\lambda = 0.4$ به صورت ارجاعی است که متناظر با جابه‌جایی ۲ تا ۵ میلی‌متر است. سپس خاک تا $\lambda = 0.8$ تغییرشکل می‌دهد (جابه‌جایی ۱۵ تا ۱۷ میلی‌متر) و در نهایت گسیختگی اتفاق می‌افتد.

در شکل ۹ ضریب رهایی تنش به‌ازای روبارهای

ایمنی پیشنهاد دادند. در جدول ۶ تعدادی از این روابط ارائه شده است که در آن، φ زاویه اصطکاک داخلی خاک، c' چسبندگی خاک، γ وزن مخصوص خاک، D قطر تونل و d گام حفاری تونل است.

مطابق شکل ۱۰، در می باییم که به طور کلی، با افزایش چسبندگی، پایداری جبهه کار تونل افزایش می یابد. در حالی که با افزایش نسبت عمق به قطر و گام حفاری، ضریب ایمنی کاهش می یابد.

جدول ۶- روابط پیشنهادی برای محاسبه ضریب ایمنی تونل

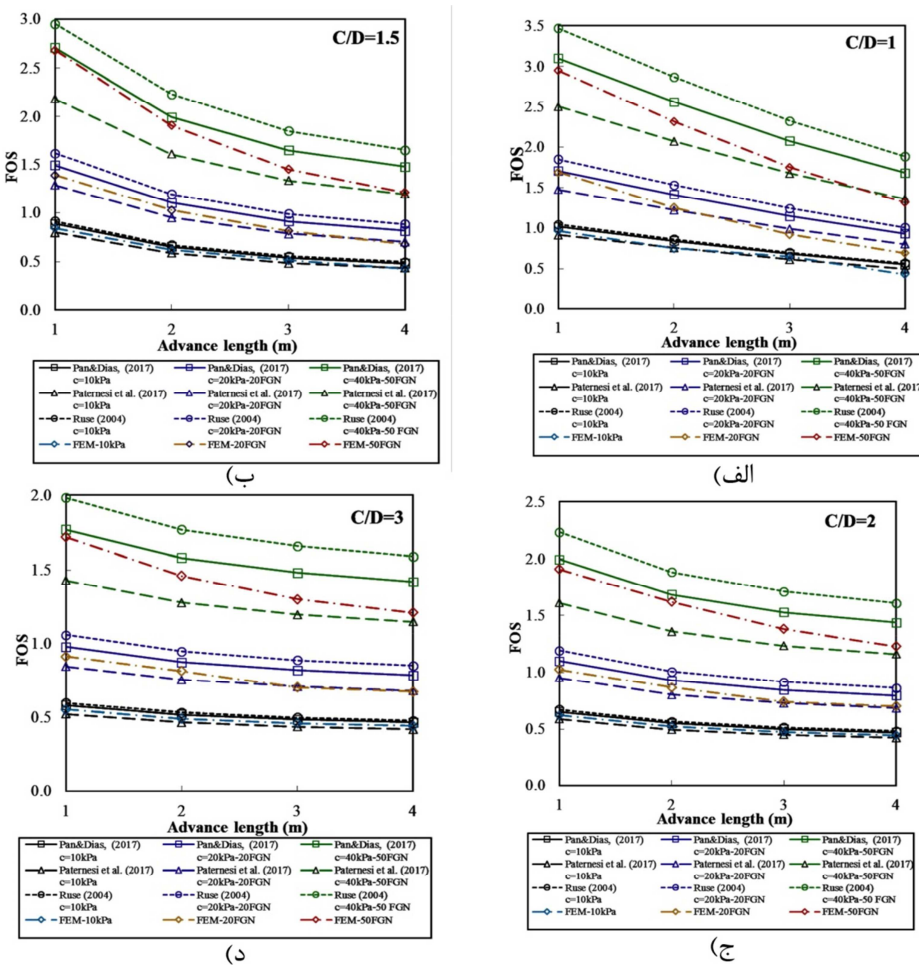
$FS = \frac{0.9 \tan(\varphi') + \frac{18c'}{\gamma D}}{2 + 3(d/D)^6 \tan\left(\frac{\varphi'}{FS}\right)} [20]$
$FS = \frac{1.23 \tan(\varphi') + \frac{15.46c'}{\gamma D}}{2 + 3(d/D)^6 \tan\left(\frac{\varphi'}{FS}\right)} [17]$
$FS = \frac{0.9 \tan(\varphi') + 11.2 \left(\frac{c'}{\gamma D}\right)^{-0.13} \cdot \frac{c'}{\gamma D}}{2 + 3(d/D)^6 \tan\left(\frac{\varphi'}{FS}\right)} [21]$

همچنین تأثیر روباره در کاهش ضریب ایمنی با افزایش گام حفاری، قابل توجهتر است. حداقل چسبندگی برای پایداری جبهه کار بین ۲۰ تا ۳۰ کیلوپاسکال با توجه به روباره تونل است و در چسبندگی ۱۰ کیلوپاسکال تونل ناپایدار است. در مقادیر بالای چسبندگی (بزرگتر از ۲۰ کیلوپاسکال) مقدار ضریب ایمنی از همگرایی مناسبی بین روش‌های مختلف برخوردار نیست. مقایسه روش‌های مختلف تعادل حدی نشان می‌دهد که روش روز در سال ۲۰۰۴ ضریب ایمنی بالاتری را ارائه می‌کند [۲۰]. این موضوع به دلیل این است که گسیختگی کششی را در محاسبات لحاظ نمی‌کند. مقایسه روش تعادل حدی و اجزای محدود نشان می‌دهد که روش‌های تعادل حدی در مقادیر چسبندگی پایین از دقت و تطابق قابل قبولی برخوردار هستند. این در حالی است که در مقادیر بالای چسبندگی، تغییر در مقادیر ضریب ایمنی بین روش اجزای محدود و همچنین روش‌های مختلف تعادل حدی قابل ملاحظه است.

۴- مقایسه ضریب ایمنی FEM با روش تعادل حدی

یکی از روش‌های کارآمد در کنترل پایداری تونل‌ها، محاسبه ضریب ایمنی است. به طور کلی، دو روش برای پایداری تونل‌ها وجود دارد. اولین روش، نسبت بین ظرفیت مقاوم به بارهای واردۀ خارجی است. به عنوان مثال، می‌توان نسبت نرخ استهلاک انرژی کل سیستم به نرخ کار خارجی را بیان کرد. در حالی‌که در روش دوم (روش تکنیک کاهش مقاومت)، از کاهش چسبندگی و زاویه اصطکاک داخلی صالح مور- کولمب، ضریب ایمنی تا لحظه گسیختگی تعیین می‌شود [۱۶ و ۲۱].

در این تحقیق از روش کاهش مقاومت برای محاسبه ضریب ایمنی پایداری جبهه کار تونل در روش اجزای محدود استفاده شده است. ضریب ایمنی محاسبه شده در روش اجزای محدود با استفاده از نرم‌افزار Plaxis3DTunnel انجام شد. همچنین معیار گسیختگی مور- کولمب برای خاک در نظر گرفته شد. عناصر تقویت‌کننده جبهه کار با استفاده از المان‌های ژئوگرید مدل‌سازی شدند. این المان‌ها هیچگونه سختی خمی ندارند، اما توانایی محدود کردن نیروهای محوری را دارند. گام حفاری ۱ تا ۴ متر، روباره از ۵ تا ۱۵ متر و دانسیته نیل فایبر‌گلاس برابر با ۲۰ عدد نیل (معادل با ۴۰ کیلوپاسکال)، ۵۰ عدد نیل (معادل با ۴۰ کیلوپاسکال) با طول ثابت ۱۲ متر، همپوشانی ۴ متر و جبهه کار حفاری در حالت بدون تسلیح (چسبندگی ۱۰ کیلوپاسکال) با زاویه اصطکاک داخلی ثابت ۳۰ درجه در تمام مدل‌ها به صورت سه‌بعدی تحلیل شد (جدول‌های ۴ و ۵). همچنین ضریب ایمنی برای طول‌های بدون نگهداری و نسبت‌های عمق به قطر مختلف با روش تعادل حدی، محاسبه گردید. همچنین در این روش، اثرات نیل در جبهه کار با چسبندگی معادل محاسبه شد [۱۹]. محققین مختلف با استفاده از نتایج تحلیل عددی به روش کاهش مقاومت، روابط مختلفی را برای محاسبه ضریب

شکل ۱۰- مقایسه ضریب ایمنی در برابر گام حفاری در نسبت های مختلف عمق (روباره) به قطر تونل، (الف)، (ب)، (ج)، (د) $C/D = 1$ و $C/D = 2$ ، $C/D = 3$ و $C/D = 1.5$

۵- نتیجه گیری

در مطالعه حاضر، تحلیل اجزای محدود دو و سه بعدی و روش تعادل حدی برای بررسی ضریب ایمنی و رفتار تغییر شکل تونل بررسی شد. جمع بندی و مقایسه نتایج به دست آمده از هر دو روش، به طور خلاصه شامل موارد زیر است:

- با استفاده از نیل در جبهه کار تونل، مقدار جابه جایی قائم بین ۲۰ تا ۳۵ درصد و جابه جایی افقی بین ۵۰ تا ۶۰ درصد کاهش می یابد.
- بنابراین می توان دریافت که استفاده از نیل در جبهه کار در کاهش جابه جایی افقی تونل تأثیر بیشتری دارد.

سال پنجم، شماره ۲، پاییز و زمستان ۱۳۹۸

پژوهش های زیرساخت های عمرانی

- روش تحلیلی نعمتی حیاتی و همکاران به طور مناسب اثرات روباره و گام حفاری را برای محاسبه مقادیر نشست سطحی تونل لحاظ می‌کند [۲۶]. بنابراین از این رویکرد تحلیلی می‌توان با در نظر گرفتن اثرات نیل فایبرگلاس به صورت چسبندگی معادل در محاسبات مقادیر نشست تا چسبندگی ۴۰ کیلوپاسکال استفاده کرد.
- استفاده از نیل فایبرگلاس ضریب ایمنی تونل را بین ۰/۵ تا ۰/۷۵ (به ازای ۲۰ نیل فایبرگلاس) و ۱/۲۵ تا ۲ برابر (به ازای ۵۰ نیل فایبرگلاس) با توجه به نسبت عمق به قطرهای مختلف افزایش می‌دهد.
- می‌دهد (جابه‌جایی ۱۵ تا ۱۷ میلیمتر) و در نهایت گسیختگی اتفاق می‌افتد.
- نتایج تحلیل نشان داد که استفاده از روش مصالح معادل برای شبیه‌سازی اثرات نیل فایبرگلاس همانند مدل‌سازی با المان‌های سازه‌ای در مدل اجزای محدود، از دقت قابل قبولی برای محاسبه ضریب ایمنی تونل برخوردار است.
- مقایسه روش‌های مختلف تعادل حدی نشان می‌دهد که روش روز ضریب ایمنی بالاتری را ارائه می‌کند [۲۰]. این موضوع به دلیل این است که گسیختگی کششی را در محاسبات لحاظ نمی‌کند. همچنین ضریب ایمنی محاسبه شده با روش اجزای محدود به طور میانگین، برابر با روش‌های بن و دیاس [۱۷] و پترنسی و همکاران [۲۱] است.

مراجع

- [1] Elyasi, A., Javadi, M., Moradi, T., Moharrami, S., Parnian, S., & Amrac, M. (2016). "Numerical modeling of an umbrella arch as a pre-support system in difficult geological conditions: a case study", *Bull Eng Geol Environ*, 75(1), 211-221.
- [2] Taromi, M., Eftekhari, A., Khademi Hamidi, J., & Aalianvari, A. (2017). "A discrepancy between observed and predicted NATM tunnel behaviors and updating: a case study of the Sabzkuh tunnel", *Bulletin of Engineering Geology and the Environment*, 76(2), 713-729.
- [3] Taromi, M., Eftekhari, A., Khademi Hamidi, J., & Eghbali, A. (2018). "Tunnel designing and construction process in difficult ground conditions using Controlled Deformations (ADECO) approach; a Case Study", *IJMGE*, 52(2), 149-160.
- [4] Mikaeil, R., Ataei, M., Sereshki, F., & Jafarpour, A. (2019). "Evaluation of the Environmental Impacts of Groundwater Levels Drop Due to the Excavation of Large-Scale Tunnels (Case Study: Kouhin Rail-Way Tunnel)", *Journal of Civil and Environmental Research*, 5(1), 89-103.
- [5] Alaghah, A. S., & Chapmanb, D. N. (2019). "Numerical modelling of tunnel face stability in homogeneous and layered soft ground", *Tunnelling and Underground Space Technology*, 94, 103096.
- [6] Shiau, J., & Al-Asadi, F. (2020). "Two-dimensional tunnel heading stability factors F_c , F_s and F_y ", *Tunnelling and Underground Space Technology*, 97, 103293.
- [7] Liua, K., Lia, Sh., Dinga, W., Houa, M., Gongc, Y., & Lic, H. (2020). "Pre-supporting mechanism and supporting scheme design for advanced small pipes in the silty clay layer", *Tunnelling and Underground Space Technology*, 98, 103259.
- [8] Chen, S.L., Lee, Ch. Sh., & Wei, Y.S. (2016). "Numerical Analysis of Ground Surface Settlement Induced by Double-O Tube Shield Tunneling", *Journal of Performance of Constructed Facilities*, 30(5), 04016012.
- [9] Zhao, Ch., Alimardani Lavasan, A., Barciaga, Th., Zarev, V., Datcheva, M., & Schanz, T. (2015). "Model validation and calibration via back analysis for mechanized tunnel simulations– The Western Scheldt tunnel case", *Computers and Geotechnics*, 69, 601–614.
- [10] Sterpi, D., Rizzo, F., Renda, D., Aguglia, F., Carla, L., & Zenti, e. (2013). "Soil nailing at the tunnel face in difficult conditions: A case study", *Tunnelling and Underground Space Technology*, 38, 129–139.
- [11] Janin, J. P., Dias, D., Emeriault, F., Kastner, R., Le Bissonnais, H., & Guilloux, A. (2015). "Numerical back-analysis of the southern Toulon tunnel measurements: A comparison of 3D and 2D approaches", *Engineering Geology*, 195, 42–52.

- [12] Jin, D., Yuan, D., Li, X., & Zheng, H. (2018). "An in-tunnel grouting protection method for excavating twin tunnels beneath an existing tunnel", *Tunnelling and Underground Space Technology*, 71, 27-35.
- [13] Lunardi, P. (2008). *Design and construction of tunnels: Analysis of Controlled Deformations in Rock and Soils (ADECO-RS)*. Springer Science & Business Media.
- [14] Hernández, Y. Z., Farfána, A. D., & Pacheco de Assis, A. (2019). "Three-dimensional analysis of excavation face stability of shallow tunnels", *Tunnelling and Underground Space Technology*, 92, 103062.
- [15] Tonon, F. (2010). "Sequential Excavation, NATM and ADECO: What They Have in Common and How They Differ", *Tunnelling and Underground Space Technology*, 25, 245–265.
- [16] Schweiger, H. F., & Mayer, P. M. (2004). "Fe-analysis of reinforced tunnel face", *Felsbau*, 22(4), 47–51.
- [17] Pan, Q., Dias, D. (2017), "Upper-bound analysis on the face stability of a non-circular tunnel", *Tunnelling and Underground Space Technology*, 62, 96-102.
- [18] Peila, D. (1994). "A theoretical study of reinforcement influence on the stability of a tunnel face", *Geotechnical and Geological Engineering*, 12(3), 145- 168.
- [19] Grasso, P., Mahtab, A., & Pelizza, S. (1989). "Riqualificazione della massa rocciosa: un criterio per la stabilizzazione di gallerie", *Gallerie e grandi opere sotterraneo*, 29, 35–41.
- [20] Ruse, N. M. (2004). *Räumliche Betrachtung der Standsicherheit der Ortsbrust beim Tunnelvortrieb* (Vol. 51). Institut für Geotechnik.
- [21] Paternesi, A., Schweiger, H. F., & Scarpellia, G. (2017). "Numerical analyses of stability and deformation behavior of reinforced and unreinforced tunnel faces", *Computers and Geotechnics*, 88, 256–266.
- [22] Semprich, S. (1980). "Berechnung der Spannungen und Verformungen im Bereich der Ortsbrust von Tunnelbauwerken in Fels", *Report of the Inst. of Geotech. Engng of the RWTH Aachen*, Report No. 8, ISSN 0341-7956.
- [23] Baumann, T., Sternath, R., & Schwarz, J. (1997). "Face stability of tunnels in soft rock – Possibilities for the computational analysis", *International Conference on Soil Mechanics and FOundation Engineering*, 3, 1389-1392.
- [24] Yasitli, N. E. (2013). "Numerical modeling of surface settlements at the transition zone excavated by New Austrian Tunneling Method and Umbrella Arch Method in weak rock", *Arabian journal of geosciences*, 6(7), 2699–2708.
- [25] Schanz, T., Vermeer, P.A., & Bonnier, P.G. (1999), The hardening-soil model: formulation and verification. In: Brinkgreve, R.B.J. (Ed.), *Beyond 2000 in computational geotechnics*. Balkema, Rotterdam, 281–290.
- [26] Nemati Hayati, A., Ahmadi, M. M., Hajjar, M., & Kashighandi, A. (2012), "Unsupported advance length in tunnels constructed using New Austrian Tunnelling Method and ground surface settlement", *International Journal for Numerical and Analytical Methods in Geomechanics*, 37(14), 2170-2185.
- [27] Brinkgreeve, R.B.J., Engin, E., & Swolfs, W.M. (2012). Plaxis 2D version 2012 manual, *Delft the Netherlands*.
- [28] PLAXIS. (2006). "Plaxis user manual (version 8.6)". *Delft University of Technology & Plaxis BV*, The Netherlands.